



## Research Paper

# Identification of Loci under Selection by Combining Different Methods in Thoroughbred and Turkmen Horses

Milad Hosseini<sup>1</sup>  and Hossein Moradi-Shahrbabak<sup>2</sup> 

1. PhD in Genetics and Animal Breeding, Department of Animal Science, University College of Agriculture and Natural Resources, University of Tehran, Karaj, Iran, (Corresponding Author: milad.hosseiny88@gmail.com)
2. Associate Professor, Department of Animal Science, University College of Agriculture and Natural Resources, University of Tehran, Karaj, Iran, (Corresponding Author: hmoradis@ut.ac.ir)

Received: 16 April, 2024

Revised: 03 July, 2024

Accepted: 04 August, 2024

### Extended Abstract

**Background:** In recent years, wide access to molecular polymorphism data has increased attention to identifying patterns within the genome that indicate positive selections occurring continuously in populations. The basic view about positive selection is the phenomenon of Genetic Hitchhiking. When a beneficial allele is the target of positive selection during different times, it creates signs at the genome level and these signs can be identified and tracked by different methods. The meta-analysis of different methods of selection signature at the genome level can lead to a much more accurate identification of these signature, because each of the different methods of identifying selection signature follow different criteria for identifying marks in the genome of organisms. In fact, the purpose of performing different methods of identification of selection signature is to improve the discovery and identification by using the combination of information and increase the accuracy and precision of the results.

**Methods:** The number of samples in this study included 111 Thoroughbred and Turkoman horses (44 and 67 respectively). Blood samples were obtained from the veins of the vestic and subcaudal veins of horses. In this research, single nucleotide polymorphism data (SNP chips, 60k) were used. Genotyping of the samples was done using 60 K arrays from Illumina company at the University of Kentucky. To ensure the quality of the genotyped genomic data, quality control analyzes were performed with a series of filters including MAF, SNP-CR, Animal-CR, HWE test. One of the important points in identifying signature of selection is to consider subpopulations in each population, for this reason, the principal components in this section was obtained based on the kinship matrix. Principal components analysis was done in R software. In this research, Fst, iHS (EHH), Rsb methods were used to identify the selection signature, and finally meta-analysis was performed. The regions under genome selection and the genomic positions obtained from whole genome linkage studies were further investigated to find the genes present in these regions. The genes reported in these regions in horses and related regions in cattle were identified using the ENSEMBL database and based on the assembly of the latest horse genome version available from the NCBI and BioMart databases. The identification code related to the identified genes was done in DAVID software to check the biological pathways related to the selected regions.

**Results:** Primary quality control was performed on 111 animals from 2 populations (67 Turkoman and 44 Thoroughbred). 3 Turkoman animals were excluded from further analysis due to the missing genotype rate of more than 9%, and finally 108 samples remained. A total of 59,349 SNP markers, 52,036 markers remained after quality control. A total of 118 SNPs were excluded due to the minimum allelic frequency of less than 1%, 704 SNPs out of Hardy-Weinberg equilibrium, 6493 SNPs with a missing genotype rate greater than 5%. The results of PCA analysis show that the samples examined in this study were placed in two completely separate groups. Finally, 5 regions on the genome were selected for further investigation. 5 regions with theta value higher than 0.28 between Turkmen and Thoroughbred horse breeds are located on chromosomes 4, 5, 10, 13, and 15, respectively. The highest number of selected markers were located on chromosome 5, and the lowest number of identified markers were located on chromosomes 13 and 15. According to the results obtained from the iHS analysis, the number of 8 and 23 snps, , in Thoroughbred and Turkmen breeds had the highest iHS value respectively, and the number of 3, 2, 2, 1 snps were respectively on chromosomes 28, 21, 1 and The highest iHS value is for the BIEC2\_548092 snp located on chromosome 21 of this breed. The results of meta-analysis showed that these regions are located on chromosomes 10, 12, 14, 15, 16, 17, 32. Rsb analysis was performed between two populations of Thoroughbred and Turkoman horses, and the results



showed that selection markers are located on chromosomes 12, 16, 17, 31, 32. After examining the genes in the obtained regions, the most important genes were involved in glycosylation, cellular response to stress, metabolic process of cellular macromolecules, repair of broken peptides.

**Conclusion:** The present research, taking into account the various methods of identifying selection marks in Turkmen and Thoroughbred horses and combining the results of each of the methods, implements a new approach to infer the positive points of selection marks in the horse genome. From the results of this research, it can be concluded that the combination of methods to identify the signs of selection increases the strength and accuracy of the results. Also, the genes identified in this research are involved in important pathways such as glycosylation, cellular response to stress, metabolic process of peptides and organization of protein subunits, cellular macromolecules catabolic process and extracellular transport.

**Keywords:** Gene ontology, Rsb analysis, Meta-analysis, Thoroughbred horse, Turkmen horse

**How to Cite This Article:** Hosseini, M., & Moradi-Shahrbabak, H. (2025). Identification of Loci under Selection by Combining Different Methods in Thoroughbred and Turkmen Horses. *Res Anim Prod*, 16(1), 121-131. DOI: 10.61186/rap.16.1.121

## مقاله پژوهشی

## شناسایی جایگاه‌های تحت انتخاب به‌وسیله‌ی ترکیب روش‌های مختلف در اسب‌های تروبرد و ترکمن

سید میلاد حسینی<sup>۱</sup> و حسین مرادی شهربابک<sup>۲</sup>

۱- دانش آموخته دوره دکتری، پردیس کشاورزی و منابع طبیعی دانشگاه تهران، کرج، ایران، (نویسنده مسول: milad.hosseiny88@gmail.com)

۲- استادیار، گروه علوم دامی، پردیس کشاورزی و منابع طبیعی دانشگاه تهران، کرج، ایران، (نویسنده مسول: hmoradis@ut.ac.ir)

تاریخ پذیرش: ۱۴۰۲/۰۵/۱۴

تاریخ ویرایش: ۱۴۰۳/۰۴/۱۲

تاریخ دریافت: ۱۴۰۳/۰۱/۲۸

صفحه: ۱۲۱ تا ۱۳۱

## چکیده مبسوط

**مقدمه و هدف:** در سال‌های اخیر، دسترسی وسیع به داده‌های چندشکلی مولکولی، توجه به شناسایی الگوهای درون ژنوم که نشان‌دهنده انتخاب‌های مثبتی به‌وقوع پیوسته در جمعیت‌ها است را افزایش داده‌است. دیدگاه کلیدی در این خصوص پدیده انتقال همراه می‌باشد. هنگامی که یک آلل سودمند در طی زمان‌های مختلف هدف انتخاب مثبت قرار می‌گیرد، باعث ایجاد نشانه‌هایی در سطح ژنوم می‌گردد که این نشانه‌ها با روش‌های مختلف قابل شناسایی و پیگیری می‌باشند. فراتحلیل روش‌های مختلف نشانه‌های انتخاب در سطح ژنوم می‌تواند به پیگیری و شناسایی بسیار دقیق‌تر این نشانه‌ها منجر شود چراکه هر کدام از روش‌های مختلف شناسایی نشانه‌های انتخاب، معیارهای متفاوتی را برای پیگیری نشانه‌ها در ژنوم موجودات دنبال می‌کنند. در واقع هدف از انجام روش‌های مختلف شناسایی نشانه‌های انتخاب، بهبود مرحله کشف و شناسایی با استفاده از ترکیب اطلاعات و افزایش صحت و دقت نتایج است.

**مواد و روش‌ها:** تعداد نمونه‌ها در این مطالعه شامل ۱۱۱ راس از اسب‌های نژاد تروبرد و ترکمن (به‌ترتیب با تعداد ۴۴ و ۶۷ راس) بود. نمونه‌های خون از رگ‌های وداچی و زیردمی اسب تهیه شد. در این پژوهش از داده‌های چندشکلی تک نوکلئیدی (SNP chips, 60k) استفاده شد. تعیین ژنوتایپ نمونه‌ها با استفاده از آرایه‌های K۶۰ مربوط به شرکت Illumina در دانشگاه کنتاکی انجام شد. برای اطمینان از کیفیت داده‌های ژنومی تعیین ژنوتایپ شده آنالیزهای کنترل کیفیت با یکسری فیلترها شامل MAF, SNP-CR, Animal-CR, آزمون HWE انجام شد. به‌دلیل اینکه یکی از مباحث مهم در بحث نشانه‌های انتخاب در نظر گرفتن زیر جمعیت‌های هر نژاد می‌باشد، مولفه اصلی در این بخش بر اساس ماتریس خویشاوندی به‌دست‌آمد. آنالیز مؤلفه‌های اصلی در محیط R صورت گرفت. در این پژوهش به‌منظور شناسایی نشانه‌های انتخاب از روش‌های  $F_{ST}$ ,  $iHS$  (EHH) و Rsb در نهایت آنالیز فراتحلیل انجام شد. مناطق تحت انتخاب ژنوم و جایگاه‌های ژنومی به‌دست‌آمده از مطالعات پیوستگی کل ژنوم جهت یافتن ژن‌های موجود در این نواحی مورد بررسی بیشتر قرار گرفت. ژن‌های گزارش شده در این مناطق در اسب و مناطق متناظر در گاو با استفاده از پایگاه اطلاعاتی ENSEMBL و براساس سرهم‌سازی آخرین نسخه ژنومی در دسترس اسب از پایگاه اطلاعاتی NCBI و BioMart و کد شناسایی مربوط به ژن‌های شناسایی شده جهت بررسی مسیرهای بیولوژیکی مرتبط با مناطق تحت انتخاب در نرم‌افزار DAVID انجام گرفت.

**یافته‌ها:** کنترل کیفیت اولیه بر روی ۱۱۱ حیوان از ۲ جمعیت (تعداد ۷۶ حیوان نژاد ترکمن و ۴۴ حیوان نژاد تروبرد) مورد مطالعه انجام شد. تعداد ۳ حیوان از نژاد ترکمن به‌دلیل نرخ ژنوتایپ از دست رفته‌ی بیشتر از ۹ درصد از ادامه‌ی آنالیزها حذف شدند و تعداد ۱۰۸ نمونه باقی ماندند. از تعداد کل ۵۹۳۴۹ نشانگر SNP، تعداد ۵۲۰۲۶ نشانگر بعد از کنترل کیفیت باقی ماندند. در مجموع تعداد ۱۱۸ SNP به‌دلیل حداقل فراوانی آلی کمتر از ۱ درصد، تعداد ۷۰۴ SNP خارج از تعادل هاردی واینبرگ، تعداد ۶۴۹۳ SNP با نرخ ژنوتیپ گم شده بیشتر از ۵ درصد حذف شدند. نتایج آنالیز PCA نشان دهنده این موضوع است که نمونه‌های مورد بررسی در این مطالعه در ۲ گروه کاملاً جدا از هم قرار گرفتند. در نهایت ۵ ناحیه بر روی ژنوم جهت بررسی‌های بعدی انتخاب شدند که توانستند از حد آستانه بالاتر باشند. ۵ منطقه که آماره تتا ارزش عددی بالاتر از ۰.۲۸ را بین دو نژاد اسب ترکمن و تروبرد داشتند به‌ترتیب روی کروموزوم‌های ۴، ۵، ۱۰، ۱۳، ۱۵ قرار دارند. بیشترین تعداد نشانگرهایی که ارزش تنای آن‌ها از حد آستانه بالاتر بود بر روی کروموزوم ۵ قرار داشت و کمترین تعداد نشانگر شناسایی شده بر روی کروموزوم ۱۳ و ۱۵ قرار داشتند. با توجه به نتایج به‌دست‌آمده از آنالیز  $iHS$ ، تعداد ۸ و ۲۳ اسنپ به ترتیب در نژادهای تروبرد و ترکمن دارای بالاترین ارزش  $iHS$  بودند که تعداد ۳، ۲، ۱، ۱ اسنپ به‌ترتیب روی کروموزوم‌های ۲۸، ۲۱، ۱ و ۷ نژاد تروبرد قرار داشتند و بالاترین مقدار ارزش  $iHS$  برای اسنپ BIEC2\_548092 واقع بر کروموزوم ۲۱ این نژاد است. نتایج آنالیز فراتحلیل نشان داد این مناطق بر روی کروموزوم‌های ۱۰، ۱۲، ۱۴، ۱۵، ۱۶، ۱۷، ۱۸، ۱۹، ۲۰، ۲۱، ۲۲، ۲۳، ۲۴، ۲۵، ۲۶، ۲۷، ۲۸، ۲۹، ۳۰، ۳۱، ۳۲، ۳۳، ۳۴، ۳۵، ۳۶، ۳۷، ۳۸، ۳۹، ۴۰، ۴۱، ۴۲، ۴۳، ۴۴، ۴۵، ۴۶، ۴۷، ۴۸، ۴۹، ۵۰، ۵۱، ۵۲، ۵۳، ۵۴، ۵۵، ۵۶، ۵۷، ۵۸، ۵۹، ۶۰، ۶۱، ۶۲، ۶۳، ۶۴، ۶۵، ۶۶، ۶۷، ۶۸، ۶۹، ۷۰، ۷۱، ۷۲، ۷۳، ۷۴، ۷۵، ۷۶، ۷۷، ۷۸، ۷۹، ۸۰، ۸۱، ۸۲، ۸۳، ۸۴، ۸۵، ۸۶، ۸۷، ۸۸، ۸۹، ۹۰، ۹۱، ۹۲، ۹۳، ۹۴، ۹۵، ۹۶، ۹۷، ۹۸، ۹۹، ۱۰۰، ۱۰۱، ۱۰۲، ۱۰۳، ۱۰۴، ۱۰۵، ۱۰۶، ۱۰۷، ۱۰۸، ۱۰۹، ۱۱۰، ۱۱۱، ۱۱۲، ۱۱۳، ۱۱۴، ۱۱۵، ۱۱۶، ۱۱۷، ۱۱۸، ۱۱۹، ۱۲۰، ۱۲۱، ۱۲۲، ۱۲۳، ۱۲۴، ۱۲۵، ۱۲۶، ۱۲۷، ۱۲۸، ۱۲۹، ۱۳۰، ۱۳۱، ۱۳۲، ۱۳۳، ۱۳۴، ۱۳۵، ۱۳۶، ۱۳۷، ۱۳۸، ۱۳۹، ۱۴۰، ۱۴۱، ۱۴۲، ۱۴۳، ۱۴۴، ۱۴۵، ۱۴۶، ۱۴۷، ۱۴۸، ۱۴۹، ۱۵۰، ۱۵۱، ۱۵۲، ۱۵۳، ۱۵۴، ۱۵۵، ۱۵۶، ۱۵۷، ۱۵۸، ۱۵۹، ۱۶۰، ۱۶۱، ۱۶۲، ۱۶۳، ۱۶۴، ۱۶۵، ۱۶۶، ۱۶۷، ۱۶۸، ۱۶۹، ۱۷۰، ۱۷۱، ۱۷۲، ۱۷۳، ۱۷۴، ۱۷۵، ۱۷۶، ۱۷۷، ۱۷۸، ۱۷۹، ۱۸۰، ۱۸۱، ۱۸۲، ۱۸۳، ۱۸۴، ۱۸۵، ۱۸۶، ۱۸۷، ۱۸۸، ۱۸۹، ۱۹۰، ۱۹۱، ۱۹۲، ۱۹۳، ۱۹۴، ۱۹۵، ۱۹۶، ۱۹۷، ۱۹۸، ۱۹۹، ۲۰۰، ۲۰۱، ۲۰۲، ۲۰۳، ۲۰۴، ۲۰۵، ۲۰۶، ۲۰۷، ۲۰۸، ۲۰۹، ۲۱۰، ۲۱۱، ۲۱۲، ۲۱۳، ۲۱۴، ۲۱۵، ۲۱۶، ۲۱۷، ۲۱۸، ۲۱۹، ۲۲۰، ۲۲۱، ۲۲۲، ۲۲۳، ۲۲۴، ۲۲۵، ۲۲۶، ۲۲۷، ۲۲۸، ۲۲۹، ۲۳۰، ۲۳۱، ۲۳۲، ۲۳۳، ۲۳۴، ۲۳۵، ۲۳۶، ۲۳۷، ۲۳۸، ۲۳۹، ۲۴۰، ۲۴۱، ۲۴۲، ۲۴۳، ۲۴۴، ۲۴۵، ۲۴۶، ۲۴۷، ۲۴۸، ۲۴۹، ۲۵۰، ۲۵۱، ۲۵۲، ۲۵۳، ۲۵۴، ۲۵۵، ۲۵۶، ۲۵۷، ۲۵۸، ۲۵۹، ۲۶۰، ۲۶۱، ۲۶۲، ۲۶۳، ۲۶۴، ۲۶۵، ۲۶۶، ۲۶۷، ۲۶۸، ۲۶۹، ۲۷۰، ۲۷۱، ۲۷۲، ۲۷۳، ۲۷۴، ۲۷۵، ۲۷۶، ۲۷۷، ۲۷۸، ۲۷۹، ۲۸۰، ۲۸۱، ۲۸۲، ۲۸۳، ۲۸۴، ۲۸۵، ۲۸۶، ۲۸۷، ۲۸۸، ۲۸۹، ۲۹۰، ۲۹۱، ۲۹۲، ۲۹۳، ۲۹۴، ۲۹۵، ۲۹۶، ۲۹۷، ۲۹۸، ۲۹۹، ۳۰۰، ۳۰۱، ۳۰۲، ۳۰۳، ۳۰۴، ۳۰۵، ۳۰۶، ۳۰۷، ۳۰۸، ۳۰۹، ۳۱۰، ۳۱۱، ۳۱۲، ۳۱۳، ۳۱۴، ۳۱۵، ۳۱۶، ۳۱۷، ۳۱۸، ۳۱۹، ۳۲۰، ۳۲۱، ۳۲۲، ۳۲۳، ۳۲۴، ۳۲۵، ۳۲۶، ۳۲۷، ۳۲۸، ۳۲۹، ۳۳۰، ۳۳۱، ۳۳۲، ۳۳۳، ۳۳۴، ۳۳۵، ۳۳۶، ۳۳۷، ۳۳۸، ۳۳۹، ۳۴۰، ۳۴۱، ۳۴۲، ۳۴۳، ۳۴۴، ۳۴۵، ۳۴۶، ۳۴۷، ۳۴۸، ۳۴۹، ۳۵۰، ۳۵۱، ۳۵۲، ۳۵۳، ۳۵۴، ۳۵۵، ۳۵۶، ۳۵۷، ۳۵۸، ۳۵۹، ۳۶۰، ۳۶۱، ۳۶۲، ۳۶۳، ۳۶۴، ۳۶۵، ۳۶۶، ۳۶۷، ۳۶۸، ۳۶۹، ۳۷۰، ۳۷۱، ۳۷۲، ۳۷۳، ۳۷۴، ۳۷۵، ۳۷۶، ۳۷۷، ۳۷۸، ۳۷۹، ۳۸۰، ۳۸۱، ۳۸۲، ۳۸۳، ۳۸۴، ۳۸۵، ۳۸۶، ۳۸۷، ۳۸۸، ۳۸۹، ۳۹۰، ۳۹۱، ۳۹۲، ۳۹۳، ۳۹۴، ۳۹۵، ۳۹۶، ۳۹۷، ۳۹۸، ۳۹۹، ۴۰۰، ۴۰۱، ۴۰۲، ۴۰۳، ۴۰۴، ۴۰۵، ۴۰۶، ۴۰۷، ۴۰۸، ۴۰۹، ۴۱۰، ۴۱۱، ۴۱۲، ۴۱۳، ۴۱۴، ۴۱۵، ۴۱۶، ۴۱۷، ۴۱۸، ۴۱۹، ۴۲۰، ۴۲۱، ۴۲۲، ۴۲۳، ۴۲۴، ۴۲۵، ۴۲۶، ۴۲۷، ۴۲۸، ۴۲۹، ۴۳۰، ۴۳۱، ۴۳۲، ۴۳۳، ۴۳۴، ۴۳۵، ۴۳۶، ۴۳۷، ۴۳۸، ۴۳۹، ۴۴۰، ۴۴۱، ۴۴۲، ۴۴۳، ۴۴۴، ۴۴۵، ۴۴۶، ۴۴۷، ۴۴۸، ۴۴۹، ۴۵۰، ۴۵۱، ۴۵۲، ۴۵۳، ۴۵۴، ۴۵۵، ۴۵۶، ۴۵۷، ۴۵۸، ۴۵۹، ۴۶۰، ۴۶۱، ۴۶۲، ۴۶۳، ۴۶۴، ۴۶۵، ۴۶۶، ۴۶۷، ۴۶۸، ۴۶۹، ۴۷۰، ۴۷۱، ۴۷۲، ۴۷۳، ۴۷۴، ۴۷۵، ۴۷۶، ۴۷۷، ۴۷۸، ۴۷۹، ۴۸۰، ۴۸۱، ۴۸۲، ۴۸۳، ۴۸۴، ۴۸۵، ۴۸۶، ۴۸۷، ۴۸۸، ۴۸۹، ۴۹۰، ۴۹۱، ۴۹۲، ۴۹۳، ۴۹۴، ۴۹۵، ۴۹۶، ۴۹۷، ۴۹۸، ۴۹۹، ۵۰۰، ۵۰۱، ۵۰۲، ۵۰۳، ۵۰۴، ۵۰۵، ۵۰۶، ۵۰۷، ۵۰۸، ۵۰۹، ۵۱۰، ۵۱۱، ۵۱۲، ۵۱۳، ۵۱۴، ۵۱۵، ۵۱۶، ۵۱۷، ۵۱۸، ۵۱۹، ۵۲۰، ۵۲۱، ۵۲۲، ۵۲۳، ۵۲۴، ۵۲۵، ۵۲۶، ۵۲۷، ۵۲۸، ۵۲۹، ۵۳۰، ۵۳۱، ۵۳۲، ۵۳۳، ۵۳۴، ۵۳۵، ۵۳۶، ۵۳۷، ۵۳۸، ۵۳۹، ۵۴۰، ۵۴۱، ۵۴۲، ۵۴۳، ۵۴۴، ۵۴۵، ۵۴۶، ۵۴۷، ۵۴۸، ۵۴۹، ۵۵۰، ۵۵۱، ۵۵۲، ۵۵۳، ۵۵۴، ۵۵۵، ۵۵۶، ۵۵۷، ۵۵۸، ۵۵۹، ۵۶۰، ۵۶۱، ۵۶۲، ۵۶۳، ۵۶۴، ۵۶۵، ۵۶۶، ۵۶۷، ۵۶۸، ۵۶۹، ۵۷۰، ۵۷۱، ۵۷۲، ۵۷۳، ۵۷۴، ۵۷۵، ۵۷۶، ۵۷۷، ۵۷۸، ۵۷۹، ۵۸۰، ۵۸۱، ۵۸۲، ۵۸۳، ۵۸۴، ۵۸۵، ۵۸۶، ۵۸۷، ۵۸۸، ۵۸۹، ۵۹۰، ۵۹۱، ۵۹۲، ۵۹۳، ۵۹۴، ۵۹۵، ۵۹۶، ۵۹۷، ۵۹۸، ۵۹۹، ۶۰۰، ۶۰۱، ۶۰۲، ۶۰۳، ۶۰۴، ۶۰۵، ۶۰۶، ۶۰۷، ۶۰۸، ۶۰۹، ۶۱۰، ۶۱۱، ۶۱۲، ۶۱۳، ۶۱۴، ۶۱۵، ۶۱۶، ۶۱۷، ۶۱۸، ۶۱۹، ۶۲۰، ۶۲۱، ۶۲۲، ۶۲۳، ۶۲۴، ۶۲۵، ۶۲۶، ۶۲۷، ۶۲۸، ۶۲۹، ۶۳۰، ۶۳۱، ۶۳۲، ۶۳۳، ۶۳۴، ۶۳۵، ۶۳۶، ۶۳۷، ۶۳۸، ۶۳۹، ۶۴۰، ۶۴۱، ۶۴۲، ۶۴۳، ۶۴۴، ۶۴۵، ۶۴۶، ۶۴۷، ۶۴۸، ۶۴۹، ۶۵۰، ۶۵۱، ۶۵۲، ۶۵۳، ۶۵۴، ۶۵۵، ۶۵۶، ۶۵۷، ۶۵۸، ۶۵۹، ۶۶۰، ۶۶۱، ۶۶۲، ۶۶۳، ۶۶۴، ۶۶۵، ۶۶۶، ۶۶۷، ۶۶۸، ۶۶۹، ۶۷۰، ۶۷۱، ۶۷۲، ۶۷۳، ۶۷۴، ۶۷۵، ۶۷۶، ۶۷۷، ۶۷۸، ۶۷۹، ۶۸۰، ۶۸۱، ۶۸۲، ۶۸۳، ۶۸۴، ۶۸۵، ۶۸۶، ۶۸۷، ۶۸۸، ۶۸۹، ۶۹۰، ۶۹۱، ۶۹۲، ۶۹۳، ۶۹۴، ۶۹۵، ۶۹۶، ۶۹۷، ۶۹۸، ۶۹۹، ۷۰۰، ۷۰۱، ۷۰۲، ۷۰۳، ۷۰۴، ۷۰۵، ۷۰۶، ۷۰۷، ۷۰۸، ۷۰۹، ۷۱۰، ۷۱۱، ۷۱۲، ۷۱۳، ۷۱۴، ۷۱۵، ۷۱۶، ۷۱۷، ۷۱۸، ۷۱۹، ۷۲۰، ۷۲۱، ۷۲۲، ۷۲۳، ۷۲۴، ۷۲۵، ۷۲۶، ۷۲۷، ۷۲۸، ۷۲۹، ۷۳۰، ۷۳۱، ۷۳۲، ۷۳۳، ۷۳۴، ۷۳۵، ۷۳۶، ۷۳۷، ۷۳۸، ۷۳۹، ۷۴۰، ۷۴۱، ۷۴۲، ۷۴۳، ۷۴۴، ۷۴۵، ۷۴۶، ۷۴۷، ۷۴۸، ۷۴۹، ۷۵۰، ۷۵۱، ۷۵۲، ۷۵۳، ۷۵۴، ۷۵۵، ۷۵۶، ۷۵۷، ۷۵۸، ۷۵۹، ۷۶۰، ۷۶۱، ۷۶۲، ۷۶۳، ۷۶۴، ۷۶۵، ۷۶۶، ۷۶۷، ۷۶۸، ۷۶۹، ۷۷۰، ۷۷۱، ۷۷۲، ۷۷۳، ۷۷۴، ۷۷۵، ۷۷۶، ۷۷۷، ۷۷۸، ۷۷۹، ۷۸۰، ۷۸۱، ۷۸۲، ۷۸۳، ۷۸۴، ۷۸۵، ۷۸۶، ۷۸۷، ۷۸۸، ۷۸۹، ۷۹۰، ۷۹۱، ۷۹۲، ۷۹۳، ۷۹۴، ۷۹۵، ۷۹۶، ۷۹۷، ۷۹۸، ۷۹۹، ۸۰۰، ۸۰۱، ۸۰۲، ۸۰۳، ۸۰۴، ۸۰۵، ۸۰۶، ۸۰۷، ۸۰۸، ۸۰۹، ۸۱۰، ۸۱۱، ۸۱۲، ۸۱۳، ۸۱۴، ۸۱۵، ۸۱۶، ۸۱۷، ۸۱۸، ۸۱۹، ۸۲۰، ۸۲۱، ۸۲۲، ۸۲۳، ۸۲۴، ۸۲۵، ۸۲۶، ۸۲۷، ۸۲۸، ۸۲۹، ۸۳۰، ۸۳۱، ۸۳۲، ۸۳۳، ۸۳۴، ۸۳۵، ۸۳۶، ۸۳۷، ۸۳۸، ۸۳۹، ۸۴۰، ۸۴۱، ۸۴۲، ۸۴۳، ۸۴۴، ۸۴۵، ۸۴۶، ۸۴۷، ۸۴۸، ۸۴۹، ۸۵۰، ۸۵۱، ۸۵۲، ۸۵۳، ۸۵۴، ۸۵۵، ۸۵۶، ۸۵۷، ۸۵۸، ۸۵۹، ۸۶۰، ۸۶۱، ۸۶۲، ۸۶۳، ۸۶۴، ۸۶۵، ۸۶۶، ۸۶۷، ۸۶۸، ۸۶۹، ۸۷۰، ۸۷۱، ۸۷۲، ۸۷۳، ۸۷۴، ۸۷۵، ۸۷۶، ۸۷۷، ۸۷۸، ۸۷۹، ۸۸۰، ۸۸۱، ۸۸۲، ۸۸۳، ۸۸۴، ۸۸۵، ۸۸۶، ۸۸۷، ۸۸۸، ۸۸۹، ۸۹۰، ۸۹۱، ۸۹۲، ۸۹۳، ۸۹۴، ۸۹۵، ۸۹۶، ۸۹۷، ۸۹۸، ۸۹۹، ۹۰۰، ۹۰۱، ۹۰۲، ۹۰۳، ۹۰۴، ۹۰۵، ۹۰۶، ۹۰۷، ۹۰۸، ۹۰۹، ۹۱۰، ۹۱۱، ۹۱۲، ۹۱۳، ۹۱۴، ۹۱۵، ۹۱۶، ۹۱۷، ۹۱۸، ۹۱۹، ۹۲۰، ۹۲۱، ۹۲۲، ۹۲۳، ۹۲۴، ۹۲۵، ۹۲۶، ۹۲۷، ۹۲۸، ۹۲۹، ۹۳۰، ۹۳۱، ۹۳۲، ۹۳۳، ۹۳۴، ۹۳۵، ۹۳۶، ۹۳۷، ۹۳۸، ۹۳۹، ۹۴۰، ۹۴۱، ۹۴۲، ۹۴۳، ۹۴۴، ۹۴۵، ۹۴۶، ۹۴۷، ۹۴۸، ۹۴۹، ۹۵۰، ۹۵۱، ۹۵۲، ۹۵۳، ۹۵۴، ۹۵۵، ۹۵۶، ۹۵۷، ۹۵۸، ۹۵۹، ۹۶۰، ۹۶۱، ۹۶۲، ۹۶۳، ۹۶۴، ۹۶۵، ۹۶۶، ۹۶۷، ۹۶۸، ۹۶۹، ۹۷۰، ۹۷۱، ۹۷۲، ۹۷۳، ۹۷۴، ۹۷۵، ۹۷۶، ۹۷۷، ۹۷۸، ۹۷۹، ۹۸۰، ۹۸۱، ۹۸۲، ۹۸۳، ۹۸۴، ۹۸۵، ۹۸۶، ۹۸۷، ۹۸۸، ۹۸۹، ۹۹۰، ۹۹۱، ۹۹۲، ۹۹۳، ۹۹۴، ۹۹۵، ۹۹۶، ۹۹۷، ۹۹۸، ۹۹۹، ۱۰۰۰، ۱۰۰۱، ۱۰۰۲، ۱۰۰۳، ۱۰۰۴، ۱۰۰۵، ۱۰۰۶، ۱۰۰۷، ۱۰۰۸، ۱۰۰۹، ۱۰۱۰، ۱۰۱۱، ۱۰۱۲، ۱۰۱۳، ۱۰۱۴، ۱۰۱۵، ۱۰۱۶، ۱۰۱۷، ۱۰۱۸، ۱۰۱۹، ۱۰۲۰، ۱۰۲۱، ۱۰۲۲، ۱۰۲۳، ۱۰۲۴، ۱۰۲۵، ۱۰۲۶، ۱۰۲۷، ۱۰۲۸، ۱۰۲۹، ۱۰۳۰، ۱۰۳۱، ۱۰۳۲، ۱۰۳۳، ۱۰۳۴، ۱۰۳۵، ۱۰۳۶، ۱۰۳۷، ۱۰۳۸، ۱۰۳۹، ۱۰۴۰، ۱۰۴۱، ۱۰۴۲، ۱۰۴۳، ۱۰۴۴، ۱۰۴۵، ۱۰۴۶، ۱۰۴۷، ۱۰۴۸، ۱۰۴۹، ۱۰۵۰، ۱۰۵۱، ۱۰۵۲، ۱۰۵۳، ۱۰۵۴، ۱۰۵۵، ۱۰۵۶، ۱۰۵۷، ۱۰۵۸، ۱۰۵۹، ۱۰۶۰، ۱۰۶۱، ۱۰۶۲، ۱۰۶۳، ۱۰۶۴، ۱۰۶۵، ۱۰۶۶، ۱۰۶۷، ۱۰۶۸، ۱۰۶۹، ۱۰۷۰، ۱۰۷۱، ۱۰۷۲، ۱۰۷۳، ۱۰۷۴، ۱۰۷۵، ۱۰۷۶، ۱۰۷۷، ۱۰۷۸، ۱۰۷۹، ۱۰۸۰، ۱۰۸۱، ۱۰۸۲، ۱۰۸۳، ۱۰۸۴، ۱۰۸۵، ۱۰۸۶، ۱۰۸۷، ۱۰۸۸، ۱۰۸۹، ۱۰۹۰، ۱۰۹۱، ۱۰۹۲، ۱۰۹۳، ۱۰۹۴، ۱۰۹۵، ۱۰۹۶، ۱۰۹۷، ۱۰۹۸، ۱۰۹۹، ۱۱۰۰، ۱۱۰۱، ۱۱۰۲، ۱۱۰۳، ۱۱۰۴، ۱۱۰۵، ۱۱۰۶، ۱۱۰۷، ۱۱۰۸، ۱۱۰۹، ۱۱۱۰، ۱۱۱۱، ۱۱۱۲، ۱۱۱۳، ۱۱۱۴، ۱۱۱۵، ۱۱۱۶، ۱۱۱۷، ۱۱۱۸، ۱۱۱۹، ۱۱۲۰، ۱۱۲۱، ۱۱۲۲، ۱۱۲۳، ۱۱۲۴، ۱۱۲۵، ۱۱۲۶، ۱۱۲۷، ۱۱۲۸، ۱۱۲۹، ۱۱۳۰، ۱۱۳۱، ۱۱۳۲، ۱۱۳۳، ۱۱۳۴، ۱۱۳۵، ۱۱۳۶، ۱۱۳۷، ۱۱۳۸، ۱۱۳۹، ۱۱۴۰، ۱۱۴۱، ۱۱۴۲، ۱۱۴۳، ۱۱۴۴، ۱۱۴۵، ۱۱۴۶، ۱۱۴۷، ۱۱۴۸، ۱۱۴۹، ۱۱۵۰، ۱۱۵۱، ۱۱۵۲، ۱۱۵۳، ۱۱۵۴، ۱۱۵۵، ۱۱۵۶، ۱۱۵۷، ۱۱۵۸، ۱۱۵۹، ۱۱۶۰، ۱۱۶۱، ۱۱۶۲، ۱۱۶۳، ۱۱۶۴، ۱۱۶۵، ۱۱۶۶، ۱۱۶۷، ۱۱۶۸، ۱۱۶۹، ۱۱۷۰، ۱۱۷۱، ۱۱۷۲، ۱۱۷۳، ۱۱۷۴، ۱۱۷۵، ۱۱۷۶، ۱۱۷۷، ۱۱۷۸، ۱۱۷۹، ۱۱۸۰، ۱۱۸۱، ۱۱۸۲، ۱۱۸۳، ۱۱۸۴، ۱۱۸۵، ۱۱۸۶، ۱۱۸۷، ۱۱۸۸، ۱۱۸۹، ۱۱۹۰، ۱۱۹۱، ۱۱۹۲، ۱۱۹۳، ۱۱۹۴، ۱۱۹۵، ۱۱۹۶، ۱۱۹۷، ۱۱۹۸، ۱۱۹۹، ۱۲۰۰، ۱۲۰۱، ۱۲۰۲، ۱۲۰۳، ۱۲۰۴، ۱۲۰۵، ۱۲۰۶، ۱۲۰۷، ۱۲۰۸، ۱۲۰۹، ۱۲۱۰، ۱۲۱۱، ۱۲۱۲، ۱۲۱۳، ۱۲۱۴، ۱۲۱۵، ۱۲۱۶، ۱۲۱۷، ۱۲۱۸، ۱۲۱۹، ۱۲۲۰، ۱۲۲۱، ۱۲۲۲، ۱۲۲۳، ۱۲۲۴، ۱۲۲۵، ۱۲۲۶، ۱۲۲۷، ۱۲۲۸، ۱۲۲۹، ۱۲۳۰، ۱۲۳۱، ۱۲۳۲، ۱۲۳۳، ۱۲۳۴، ۱۲۳۵، ۱۲۳۶، ۱۲۳۷، ۱۲۳۸، ۱۲۳۹، ۱۲۴۰، ۱۲۴۱، ۱۲۴۲، ۱۲۴

روشی برای ادغام نتایج حاصل از مجموعه‌ای از آزمایشات بالینی مشابه توسعه یافت. متعاقباً برای ترکیب داده‌های حاصل از مطالعات مشاهده‌ای، سپس برای ترکیب مطالعات ژنتیکی ژن‌های کاندید استفاده شد، و اکنون فراتحلیل به‌طور معمول برای تجمیع نتایج حاصل از مطالعات ارتباط ژنومی (GWAS) استفاده می‌شود. علی‌رغم این گسترش حوزه کاربرد، روش‌های مورد استفاده تغییر بسیار کمی داشته‌اند، بنابراین کم و بیش همان رویکرد فراتحلیل اولیه برای داده‌های ژنومی مورد استفاده قرار می‌گیرد که برای اولین بار برای آزمایش‌های بالینی توسعه داده شد (Lean et al., 2009). یکی از ویژگی‌های متآنالیزهای ژنومی این است که می‌توان آن‌ها را به‌دلایل مختلفی انجام داد و هر هدف به‌شکل کمی متفاوت از تجزیه و تحلیل نیاز دارد. هنگامی که انگیزه برای متآنالیز واضح نیست، انتخاب یک تحلیل مناسب می‌تواند دشوار باشد و این دشواری زمانی بدتر می‌شود که یک متآنالیز واحد دارای چندین مؤلفه مجزا با اهداف ضمنی متفاوت باشد. بنابراین، اولین وظیفه ما این است که اشکال مختلف متآنالیز در سطح ژنوم و آنچه که آن‌ها در تلاش برای دستیابی هستند را در نظر بگیریم (Vesterinen et al., 2014). فراتحلیل روش‌های مختلف نشانه‌های انتخاب در سطح ژنوم می‌تواند به پیگیری و شناسایی بسیار دقیق‌تر این نشانه‌ها منجر شود چراکه هر کدام از روش‌های مختلف شناسایی نشانه‌های انتخاب، معیارهای متفاوتی را برای پیگیری نشانه‌ها در ژنوم موجودات دنبال می‌کنند. یعنی یک آنالیز فراتحلیل که داده‌های GWAS را ترکیب می‌کند، می‌تواند با در نظر گرفتن ویژگی‌های بیولوژیکی ژن‌ها و SNP‌ها در سراسر ژنوم از پایگاه‌های اطلاعاتی بیوانفورماتیک یا سایر منابع تجربی (مانند مطالعات بیان)، باعث افزایش چشم‌گیر صحت و دقت نتایج شود. در واقع هدف بهبود مرحله کشف و شناسایی با استفاده از ترکیب اطلاعات خواهد بود (Cantor et al., 2010). فراتحلیل در واقع یک روش آماری است که نتایج حاصل از مطالعات مختلف ولی با یک هدف مشخص ترکیب می‌کند و نتایج دقیق و حتی ناشناخته را ارائه می‌دهد (Ramamamy et al., 2008). این روش‌ها همچنین امکان ارزیابی کمی سازگاری یا ناسازگاری (ناهمگونی) نتایج را در میان مجموعه‌های داده متعدد فراهم می‌کنند. روش‌های متآنالیز برای چندین دهه در زمینه‌های مختلف علمی مورد استفاده قرار گرفته‌اند و در حال حاضر چندین کتاب درسی و کتاب راهنما برای آن‌ها وجود دارد (Higgins et al., 2007; Sutton et al., 2000). هدف این پژوهش انجام آنالیز فراتحلیل مجموعه داده‌های نشانه‌های انتخاب حاصل از آماره‌های مختلف به‌منظور افزایش قدرت تشخیص سیگنال‌های ارتباطی، افزایش صحت و دقت شناسایی ردپاهای انتخاب در اسب‌های ترکمن و تروبرد با بررسی انواع بیشتری از این نشانه‌ها در سراسر ژنوم نسبت به هر مجموعه داده به‌تنهایی است.

### مواد و روش‌ها

در این پژوهش از داده‌های چندشکلی تک نوکلئوتیدی (SNP chips, 60k) استفاده شد. این داده‌ها توسط شرکت ایلومینا تولید شد. تعداد نمونه‌ها در این مطالعه شامل ۱۱۱ راس

همان چندشکلی‌های تک نوکلئوتیدی، که در طول ژنوم پراکنده‌اند، صورت می‌پذیرد و بستر مناسبی برای افزایش درک بشر از معماری ژنتیکی صفات پیچیده، انتخاب ژنومیک، تحقیقات پیوستگی در سطح ژنوم و همچنین بررسی سیگنال‌های انتخاب در حیوانات مزرعه‌ای فراهم کرده‌است. عبارت ژنومیک جمعیت اولین بار برای آنالیز تنوع جمعیتی درون و بین جمعیت‌ها براساس داده‌های کل ژنوم استفاده شد و خصوصیات خاص جمعیت‌ها از قبیل اندازه مؤثر جمعیت و تمایز جمعیت‌ها با استفاده از روش‌های آنالیز ژنومیک جمعیت استنباط گردید (Gondro et al., 2013). یکی از رایج‌ترین و کارآمدترین تکنیک‌ها در شناسایی مناطق ژنومی مؤثر بر صفات کمی در حوزه‌های مختلف ژنتیک از جمله ژنتیک دامی، شناسایی نشانه‌های انتخاب است. انتخاب، فرکانس واریانت‌های سودمند و مکان‌های چندشکلی همسایه‌شان را تغییر می‌دهد، ژنوم را فرا می‌گیرد و الگوهایی را که علی‌رغم نوترکیبی کروموزوم در یک جمعیت رایج می‌شوند، باقی می‌گذارد (Sabeti et al., 2002). این الگوها به‌طور گسترده به‌عنوان نشانه‌های (یا ردپای) انتخاب نامیده می‌شوند و روش‌های زیادی برای شناسایی آن‌ها در داده‌های ژنومی توسعه یافته‌اند (Oleksyk et al., 2010). این نشانه‌ها شامل کاهش مکانی تنوع ژنتیکی، انحراف از توزیع فراوانی اللی<sup>۶</sup> و افزایش الگوی عدم تعادل لینکاژی و توسعه ساختار هاپلوتایپی<sup>۷</sup> می‌شود (Grossman et al., 2010). با وجود این که روش‌های موجود برای شناسایی نشانه‌های انتخاب بر روی داده‌های ژنومی در فرض‌ها و اجرا متفاوت است و همبستگی‌های ضعیفی بین آن‌ها مورد انتظار است ولی مناطقی که با روش‌های مختلف تحت عنوان نشانه‌های انتخاب شناسایی می‌شوند، شواهد قوی دال بر وجود انتخاب در این نواحی هستند (Utsunomiya et al., 2013). از مزایای اصلی این روش‌ها این است که اجرای آن‌ها تنها با استفاده از اطلاعات حاصل از داده‌های ژنومی و در غیاب رکوردهای فنوتیپی نیز وجود دارد. وقتی یک جهش مطلوب در یک جمعیت رخ می‌دهد فراوانی این آلل در جمعیت در طی نسل‌های بعدی افزایش پیدا می‌کند. به‌دلیل این که DNA ترکیب خطی از مولکول‌ها است و نیز احتمال نوترکیبی نسبت معکوس با فاصله ژنومی بین دو جایگاه دارد بنابراین فراوانی نوکلئوتیدهای مجاور جهش مطلوب نیز افزایش پیدا می‌کند. این اتفاق باعث باقی ماندن نشانه‌هایی در سطح ژنوم می‌شود که به‌وسیله‌ی توزیع معنی‌دار آماری نوکلئوتیدها در مجاورت جهش مطلوب مشخص می‌شود (Gurgul et al., 2019). در حال حاضر ابزارها و روش‌های مختلفی برای شناسایی این نشان‌های انتخاب در سطح ژنوم جمعیت‌های مختلف، به‌طور موفقیت‌آمیز توسعه یافته و استفاده می‌گردد (Qanbari et al., 2010). با این که روش‌های موجود برای شناسایی نشانه‌های انتخاب روی داده‌های ژنومیک در فرض‌ها و اجرا متفاوت هستند و انتظار می‌رود رابطه ضعیفی بین نتایج آن‌ها وجود داشته باشد، مناطقی که با روش‌های مختلف به‌عنوان نشانه‌های انتخاب شناسایی می‌شوند، براساس شواهد قطعی نشان‌دهنده وجود انتخاب در این نواحی هستند (Utsunomiya et al., 2013). فراتحلیل در ابتدا به‌عنوان

### روش‌های مبتنی بر عدم تعادل پیوستگی

علاوه بر روش‌های تمایز جمعیتی، آماره EHH که مبتنی بر عدم تعادل پیوستگی می‌باشد، جهت شناسایی مناطق ژنومی تحت انتخاب مورد استفاده قرار گرفت. در واقع EHH یک هاپلوتیپ گسترده شده خاص بدون نوترکیبی است که به‌صورت زیر محاسبه می‌شود:

$$EHH_{s,t} = \frac{1}{n_{as}(n_{as}-1)} \sum_{k=0}^{k_{as,t}} n_k(n_k - 1)$$

$N_{as}$  فراوانی هاپلوتیپ‌هایی است که حامل هاپلوتیپ مرکزی  $as$  هستند، تعداد هاپلوتیپ‌های منحصر به فردی است که حامل هاپلوتیپ مرکزی از اسنپ  $t$  تا اسنپ  $s$  در طول کروموزوم هستند و  $n_k$  تعداد هاپلوتیپ‌های منحصر به فرد است. آزمون  $iHS$  یکی از متداول‌ترین روش‌های مبتنی بر روش‌های عدم تعادل لینکاژی است. این آماره یک معیار استاندارد از کاهش EHH آلل‌های مشتق شده در یک منطقه (برای مثال یک SNP) نسبت به آلل‌های اجدادی را فراهم می‌کند (Voight et al., 2006). مناطقی با روند آهسته‌ی کاهش EHH در آلل‌های مشتق شده (که دارای طول هاپلوتیپی زیاد نسبت به هاپلوتیپ‌های مورد انتظار آلل‌های اجدادی هستند) به‌عنوان نشانه‌ای از انتخاب تلقی می‌گردد. برای محاسبه‌ی این آماره از پکیج  $rehh$  در برنامه  $R$  استفاده شد. فایل‌های ورودی این پکیج دو فایل  $hap$  و  $map$  می‌باشند که فایل  $hap$  حاوی اطلاعات ژنوتیپ‌ها و فایل  $map$  نیز حاوی اطلاعات نقشه اسنپ‌ها و همچنین آلل‌های اجدادی و مشتق شده برای هر اسنپ می‌باشد.

$$iHS = \frac{\ln\left(\frac{iHHA}{iHHD}\right) - E_p\left[\ln\left(\frac{iHHA}{iHHD}\right)\right]}{SD_p\left[\ln\left(\frac{iHHA}{iHHD}\right)\right]}$$

$A$  آلل اجدادی و  $D$  آلل اشتقاقی است. انحراف استاندارد مورد انتظار  $\ln(iHHA/iHHD)$  از توزیع تجربی SNP برآورد شده که  $p$  فراوانی آلل مشتق شده با فراوانی  $snp$  هسته منطبق شده‌است.

$Rsb$  روشی است که طول هاپلوتیپ‌های مرتبط با همان آلل را بین جمعیت‌ها مقایسه می‌کند. روش  $Rsb$  پروفایل‌های EHH از یک آلل را بین جمعیت‌ها به‌صورت جفتی مقایسه می‌کند. این روش به‌عنوان لگاریتم نسبت بین  $iESpop1$  و  $iESpop2$  تعریف شد، که در آن  $iES$  نشان‌دهنده EHH یکپارچه (EHH مختص یک منطقه) برای هر دو آلل هر SNP در هر جمعیت است.  $Rsb$  بین جمعیت‌ها (AB) محاسبه شد. این روش به هیچ اطلاعاتی از آلل‌های اجدادی و مشتق شده نیاز ندارد. مقادیر مثبت  $Rsb$  نشان می‌دهد که  $iESpop1$  بزرگ‌تر از  $iESpop2$  است، یعنی جمعیت ۱ هاپلوتیپ طولانی‌تری نسبت به جمعیت ۲ دارد، بنابراین انتخاب مثبت در جمعیت جایگزین (جمعیت ۱) را پیشنهاد می‌کند. برعکس، نمره منفی نشان‌دهنده انتخاب مثبت در یک جمعیت مرجع (جمعیت ۲) است (Tang et al., 2007).

$$Rsb = \ln\left(\frac{iESpop1}{iESpop2}\right)$$

از اسب‌های نژاد ترابرد و ترکمن (به‌ترتیب با تعداد ۴۴ و ۶۷ راس) بود. همچنین تعداد ۲۱ نمونه مادبان و ۲۳ نمونه نریان در اسب‌های ترابرد و تعداد ۵۶ نمونه مادبان و ۵۵ نمونه نریان در اسب‌های ترکمن وجود داشت. نمونه‌های خون از رگ‌های وداجی و زیردمی اسب تهیه شده و نمونه‌های گرفته شده تا زمان استخراج در دمای  $-20$  سانتی‌گراد نگهداری شدند. استخراج DNA از خون با استفاده از روش بهینه نمکی (Grimberg et al., 1989) انجام گرفت. تعیین کمیت و کیفیت DNA به‌وسیله‌ی دستگاه نانودراپ و ژل آگارز ۱/۲ درصد صورت گرفت. سپس جهت تعیین ژنوتایپ نمونه‌ها به دانشگاه کنتاکی ارسال شدند و با استفاده از آرایه‌های  $K60$  مربوط به شرکت Illumina تعیین ژنوتایپ شدند. برای اطمینان از کیفیت داده‌های ژنومی تعیین ژنوتایپ شده آنالیزهای کنترل کیفیت با یک‌سری فیلترها شامل MAF، SNP-CR، Animal-CR، آزمون HWE انجام شد. SNP‌هایی که در مجموع حیوانات دارای CR کمتر از ۹۵ درصد بودند، حذف شدند (Barendse et al., 2009). همچنین حیواناتی که در مجموع بیش از ۹ درصد ژنوتیپ از دست‌رفته داشتند، به‌منظور جلوگیری از کاهش صحت و دقت نتایج حذف شدند. سپس SNP‌هایی که سطح معنی‌داری تعادل هاردی-واینبرگ برای آن‌ها کمتر از  $(1 \times 10^{-6})$  بود حذف شدند (Teo et al., 2007). سطح معنی‌داری به‌عنوان معیاری از خطای تعیین ژنوتایپ در نظر گرفته شد. کنترل کیفیت داده‌ها با استفاده از نرم‌افزار PLINK صورت گرفت. ژنوتیپ‌های به‌دست‌آمده از این بخش جهت آنالیز PCA مورد استفاده قرار گرفتند. یکی از شیوه‌های آماری برای آزمون ارتباط بین جوامع و اختصاص افراد به آن‌ها با استفاده از ماتریس فاصله، استفاده از آنالیز مولفه‌های اصلی (PCA) است (Jombart & Ahmed, 2011). به‌دلیل اینکه یکی از مباحث مهم در بحث نشانه‌های انتخاب در نظر گرفتن زیر جمعیت‌های هر نژاد می‌باشد، مولفه اصلی در این بخش بر اساس ماتریس خویشاوندی به‌دست‌آمد. آنالیز مؤلفه‌های اصلی در محیط  $R$  صورت گرفت. در این پژوهش به‌منظور شناسایی نشانه‌های انتخاب از روش‌های زیر استفاده شد.

### روش‌های آماری مبتنی بر تمایز جمعیتی

یکی از متداول‌ترین روش‌ها برای شناسایی نشانه‌های انتخاب، آماره‌ی  $F_{st}$  است. جهت بررسی الگوی ژنومی انتخاب مثبت در جمعیت‌های اسب‌های نژاد ترکمن و ترابرد، ارزش‌های  $F_{st}$  برای هر مارکر SNP به‌روش برآوردگر ناریب تتا در محیط  $R$  محاسبه گردید. روش ناریب تتا غالباً در تحقیقاتی با اندازه نمونه کم و مقایسه جمعیت‌هایی با اندازه متفاوت استفاده می‌شود. برای محاسبه‌ی این آماره از فرمول زیر استفاده شد (Weir & Cockerham, 1984).

$$F_{st} = \frac{H_T - H_S}{H_T}$$

$H_T$  هتروزوگوسیتی مورد انتظار در کل جمعیت و  $H_S$  هتروزوگوسیتی داخل زیر جمعیت است.

## روش فراتحلیل

آزمون فراتحلیل آزمون دیگری است که بر روی داده‌های حیوانات اهلی مورد استفاده قرار گرفته است. در این آزمون از ترکیب P-Value‌های به‌دست‌آمده از آزمون‌های شناسایی نشانه‌های انتخاب استفاده شد. از آنجایی که همه روش‌های شناسایی نشانه‌های انتخاب دارای مقادیر P بودند که از توزیع‌های نرمال با پارامترهای یکسان (میانگین و واریانس ۱) بازیابی شده بودند، نسخه وزن دار روش استوفر برای ترکیب مقادیر P استفاده شد. برای هر نشانگر و هر آزمون  $i$ ، P-value مربوطه با  $Z_i = 2w_{21}(12\pi)$  به یک Z-score تبدیل شد. آزمایش‌های درون جمعیتی فقط یک‌بار برای هر نژاد انجام شد، از این‌رو وزن مربوط به آن‌ها  $v_i$  روی ۱ تنظیم شد. سپس، آمار ترکیبی K تست، برای هر SNP در هر نژاد، به‌صورت زیر تعریف شد:

$$meta-SS = \frac{\sum_{i=1}^k \omega_i Z_i}{\sqrt{\sum_{i=1}^k \omega_i^2}}$$

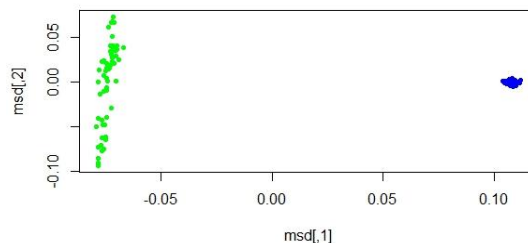
جدول ۱- کنترل کیفی داده‌های ژنومی مربوط به اسب‌های نژاد تروبرد و ترکمن

Table 1. Quality control of genomic data related to Thoroughbred and Turkoman breed horses

| تروبرد<br>Thoroughbred | ترکمن<br>Turkoman | جمعیت<br>population   |
|------------------------|-------------------|---|
| 44                     | 67                | تعداد حیوانات هر جمعیت<br>Number of animal in populations   |
| 59349                  | 59349             | تعداد کل نشانگرها قبل از کنترل کیفیت<br>Number of markers before quality control                                    |
| 118                    | 118               | تعداد SNPها با فراوانی آلل نادر کمتر از ۰/۰۱<br>The number of SNPs with rare allele frequency less than 0.01        |
| 704                    | 704               | تعداد SNPهای خارج از تعادل هاردی-وینبرگ<br>The number of SNPs discharge the Hardy Weinberg equilibrium              |
| 6493                   | 6493              | تعداد SNPها با نرخ ژنوتیپ گم شده بیشتر از ۰/۰۵<br>The number of SNPs with a missing genotype rate greater than 0.05 |
| 0                      | 3                 | تعداد افراد با نرخ ژنوتیپ از دست رفته ۰/۰۹<br>The number of animals with a missing genotype rate of 0.09            |
| 0.954                  | 0.954             | نرخ ژنوتایپینگ در افراد باقیمانده<br>Genotyping rate in the remaining sample  |
| 52036                  | 52036             | تعداد کل SNPها بعد از کنترل کیفیت<br>Number of SNPs after quality control   |

اسب‌های ترکمن (رنگ سبز) و اسب‌های تروبرد (رنگ آبی) هستند. همچنین هرچه فاصله‌ی بین دو گروه بیشتر باشد نشان دهنده‌ی خلوص نژادی و تفکیک بیشتر دو گروه است (شکل ۱).

آنالیز مؤلفه‌های اصلی ساختار جمعیتی ۲ نژاد اسب تروبرد و ترکمن در محیط بررسی شد. نتایج این بررسی نشان دهنده این موضوع است که نمونه‌های مورد بررسی در این مطالعه در ۲ گروه کاملاً جدا از هم قرار گرفتند. این دو گروه شامل



شکل ۱- آنالیز مؤلفه‌های اصلی مربوط به نژادهای اسب تروبرد (آبی) و ترکمن (سبز) با استفاده از اطلاعات چندشکلی‌های تک نوکلئوتیدی  
Figure 1. PCA analysis of Thoroughbred horse breeds (blue) and Turkoman (green) using SNP

مارکر SNP به روش برآوردگر ناریب تتا در محیط R محاسبه گردید (Weir & Cockerham, 1984). باتوجه به این که این روش ناریب است احتمال به‌دست‌آوردن ارزش‌های منفی نیز

## نتایج و بحث

جهت بررسی الگوی ژنومی انتخاب مثبت در جمعیت‌های اسب‌های نژاد ترکمن و تروبرد، ارزش‌های  $F_{st}$  برای هر

درصد تا ۲/۵ درصد متغیر بود (Moradi *et al.*, 2012; Qanbari *et al.*, 2010). در نهایت ۵ ناحیه بر روی ژنوم جهت بررسی‌های بعدی انتخاب شدند که توانستند از حد آستانه بالاتر باشند. ۵ منطقه که آماره تتا ارزش عددی بالاتر از ۰/۲۸ را بین دو نژاد اسب ترکمن و تروبرد داشتند به ترتیب روی کروموزوم‌های ۴، ۵، ۱۰، ۱۳، ۱۵ قرار دارند. بیشترین تعداد نشانگرهایی که ارزش تتای آن‌ها از حد آستانه بالاتر بود بر روی کروموزوم ۵ قرار داشت و کمترین تعداد نشانگر شناسایی شده بر روی کروموزوم ۱۳ و ۱۵ قرار داشتند. پس از به دست آوردن آماره iHS، اسنیپ‌هایی که دارای بالاترین مقدار iHS هستند به عنوان اسنیپ‌هایی که در هر نژاد تحت انتخاب قرار گرفتند معرفی شدند (جدول ۲ و جدول ۳). اگر هاپلوتایپ مشتق شده بزرگ‌تر از هاپلوتایپ اجدادی باشد، مقدار iHS منفی است و اگر هاپلوتایپ اجدادی بزرگ‌تر از هاپلوتایپ مشتق شده باشد مقدار iHS مثبت است.

وجود دارد. ارزش‌های ناریب تتا برای هر SNP و به‌طور جداگانه‌ای برای کروموزوم‌های اتوزومی و کروموزوم جنسی X، محاسبه شد. جهت شناسایی بهتر سیگنال‌های انتخاب در سطح ژنوم به جای در نظر گرفتن ارزش عددی هر SNP از میانگین‌گیری ارزش‌های عددی SNP‌های مجاور به‌روش  $CW^1$  (Qanbari *et al.*, 2011) استفاده شد و تنها ۱٪ مناطقی از ژنوم که در آن تمام نشانگرهای مجاور دارای ارزش بالایی بودند، به‌عنوان نشانه‌های انتخاب شناسایی و تعیین شدند. حد آستانه در این بررسی سخت‌گیرانه بود و فقط مناطقی از ژنوم که بیشترین تمایز را بین دو نژاد نشان دادند، انتخاب گردیدند. مزیت این روش نسبت به روش پایه‌ای  $F_{st}$  که توسط رایت ارائه شد این است که در روش ناریب تتا اندازه‌ی نمونه‌ها در فرمول لحاظ گردیده و در واقع خطای نمونه‌گیری در نظر گرفته شده‌است. این حد آستانه در مطالعات مختلف از ۰/۰۱

جدول ۲- نشانگرهای دارای بالاترین ارزش iHS در نژاد تروبرد

Table 2. Markers with the highest iHS value in Thoroughbred breed

| iHS   | موقعیت ژنومی<br>Genomic Position | کروموزوم<br>Chromosome | نام اسنیپ<br>SNP Name |
|-------|----------------------------------|------------------------|-----------------------|
| -4.35 | 5030403                          | 21                     | BIEC2_548092          |
| -4.34 | 45097396                         | 28                     | BIEC2_745459          |
| -3.93 | 44680548                         | 28                     | BIEC2_745385          |
| -3.91 | 112650539                        | 1                      | BIEC2_47180           |
| -3.88 | 5026970                          | 21                     | BIEC2_548091          |
| -3.87 | 45186697                         | 28                     | BIEC2_745469          |
| -3.82 | 112751114                        | 1                      | BIEC2_47251           |
| -3.66 | 77913275                         | 7                      | BIEC2_1007560         |

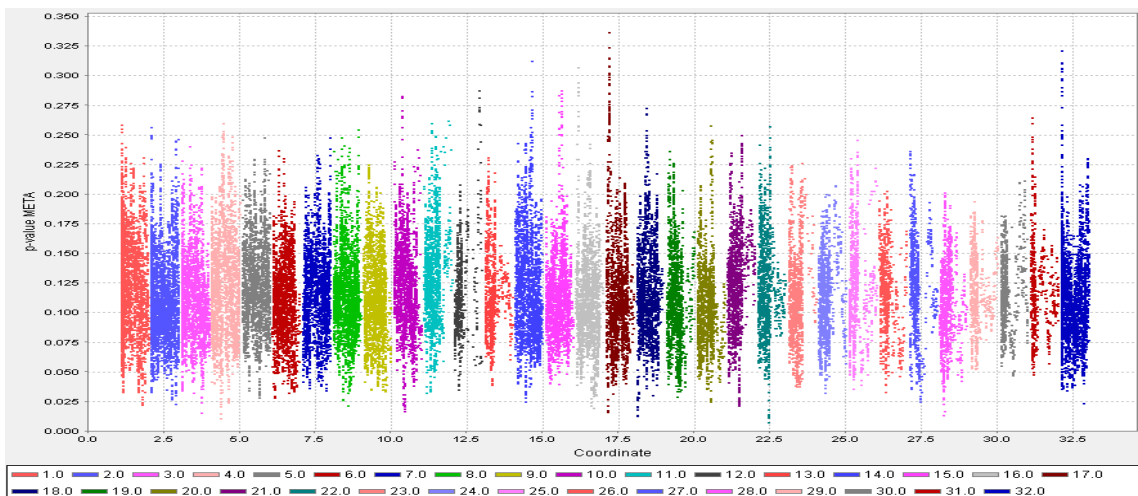
جدول ۳- نشانگرهای دارای بالاترین ارزش iHS در نژاد ترکمن

Table 3. Markers with the highest iHS value in Turkoman breed

| iHS   | موقعیت ژنومی<br>Genomic Position | کروموزوم<br>Chromosome | نام اسنیپ<br>SNP Name |
|-------|----------------------------------|------------------------|-----------------------|
| 4.38  | 58264781                         | 4                      | BIEC2_867460          |
| -4.34 | 8498964                          | 8                      | BIEC2_1027164         |
| 4.28  | 24590167                         | 25                     | BIEC2_665593          |
| 4.20  | 42935127                         | 18                     | BIEC2_411742          |
| 4.10  | 15211001                         | 5                      | BIEC2_894650          |
| 4.02  | 104984674                        | 4                      | BIEC2_882951          |
| -3.97 | 8138630                          | 8                      | BIEC2_1027098         |
| 3.96  | 108136351                        | 4                      | BIEC2_885665          |
| 3.95  | 58352096                         | 4                      | BIEC2_867482          |
| 3.95  | 91269455                         | 1                      | BIEC2_38058           |
| 3.94  | 10763970                         | 5                      | BIEC2_891593          |
| 3.94  | 56134845                         | 4                      | BIEC2_867049          |
| 3.87  | 28826556                         | 1                      | BIEC2_12789           |
| 3.86  | 1109903                          | 14                     | BIEC2_238237          |
| 3.82  | 23868607                         | 5                      | BIEC2_898305          |
| 3.79  | 10954654                         | 5                      | BIEC2_891633          |
| 3.74  | 23674756                         | 5                      | BIEC2_898277          |
| 3.71  | 12437611                         | 5                      | BIEC2_892648          |
| -3.71 | 8722189                          | 8                      | BIEC2_1027310         |
| -3.70 | 8470201                          | 8                      | BIEC2_1027146         |
| 3.67  | 21373000                         | 25                     | BIEC2_663913          |
| 3.67  | 14979173                         | 29                     | BIEC2_754760          |
| 3.67  | 7756449                          | 27                     | BIEC2_702123          |

به‌همین منظور آنالیز Rsb بین دو جمعیت اسب‌های تروبرد و ترکمن انجام شد و نتایج نشان داد که نشانه‌های انتخاب بر روی کروموزوم‌های ۱۲، ۱۶، ۱۷، ۳۱، ۳۲، قرار دارند. آنالیز فراتحلیل مربوط به همه‌ی روش‌های شناسایی نشانه‌های انتخاب در اسب‌های نژاد ترکمن و تروبرد انجام شد و به‌طور کلی مناطقی که دارای بیشترین تمایز بین این دو نژاد بودند، به‌طور سخت گیرانه‌ای شناسایی و معرفی شد. نتایج آنالیز فراتحلیل نشان داد این مناطق بر روی کروموزوم‌های ۱۰، ۱۲، ۱۴، ۱۵، ۱۶، ۱۷، ۳۲ قرار گرفته‌اند. گراف منتهن برای آنالیز فراتحلیل اسب‌های نژاد ترکمن و تروبرد در شکل ۲ آورده شده‌است. همچنین نتایج آنالیزهای مربوط به شناسایی ژن‌ها در این مناطق در جدول ۴ ارائه شده‌است.

باتوجه به نتایج به‌دست‌آمده از آنالیز iHS تعداد ۸ و ۲۳ اسنیپ به‌ترتیب در نژادهای تروبرد و ترکمن دارای بالاترین ارزش iHS بودند که تعداد ۳، ۲، ۲، ۱ اسنیپ به‌ترتیب روی کروموزوم‌های ۲۸، ۲۱، ۱ و ۷ نژاد تروبرد قرار داشتند و بالاترین مقدار ارزش iHS برای اسنیپ BIEC2\_548092 واقع بر کروموزوم ۲۱ این نژاد است. همچنین در نژاد ترکمن تعداد ۵، ۴، ۲، ۱، ۲، ۱، ۱، ۱ اسنیپ به‌ترتیب بر روی کروموزوم‌های ۴، ۸، ۲۵، ۱۸، ۵، ۱، ۱۴، ۲۷، ۲۹ واقع شده‌اند و بالاترین مقدار ارزش iHS را اسنیپ BIEC2\_548092 واقع بر کروموزوم ۴ دارد. به‌منظور شناسایی چندشکلی‌های تک نوکلئوتیدی که تحت انتخاب قرار گرفته‌اند، آماره‌ی Rsb محاسبه شد. این آماره نشانه‌های انتخاب را بین دو جمعیت بررسی می‌کند.



شکل ۲- گراف منتهن مربوط به آنالیز فراتحلیل داده‌های اسنیپ اسب‌های تروبرد و ترکمن  
Figure 2. Manhattan graph for meta-analysis of SNP-data of Thoroughbred and Turkoman horses

جدول ۴- اطلاعات مربوط به هستی‌شناسی ژن‌های شناسایی شده در مناطق تحت انتخاب مثبت

Table 4. Ontology information of genes identified in regions under positive selection

| P-value | ژن‌های کاندید در Term<br>Candidate Genes In Term                                       | تعداد ژن‌ها در هر Term<br>Count | نام مسیر<br>Pathway Name  | کد هستی‌شناسی<br>Ontology Code |
|---------|--|---------------------------------|---|--------------------------------|
| 0/089   | ALG11- COG6  | 2                               | گلیکوزیلاسیون<br>Glycosylation  | GO:0070085                     |
| 0/068   | SEM1-SETMAR-ITPR1  | 3                               | پاسخ سلولی به استرس<br>Cellular response to stress                                  | GO:0033554                     |
| 0/048   | SEM1-SETMAR-BHLHE40-<br>CRBN-SUMF1-TRNT1   | 6                               | فرآیند متابولیک ماکرومولکول سلولی<br>Cellular macromolecule metabolic process       | GO:0044260                     |
| 0/071   | SEM1-SETMAR  | 2                               | تعمیر شکستگی دو رشته‌ای<br>double-strand break repair                               | GO:0006302                     |
| 0/084   | LXN- PTX3- RARRES1   | 3                               | انتقال از فضای خارج سلولی<br>Extracellular transport                                | GO:0005615                     |
| 0/047   | ACCS- ALKBH3- AMBRA1-<br>ATG13- CHST1- F2- DGKZ-<br>EXT2-HSD17B12-MAPK8IP1-<br>SLC35C1 | 11                              | فرآیند متابولیک تک ارگانیسم<br>single organism Metabolic process                    | GO:0044710                     |
| 0/007   | CDC42EP3-NDUFAF7-<br>CYP11B1- EIF2AK2-SPAST  | 5                               | سازماندهی زیر واحدهای پروتئین‌ها<br>protein subunits Organization                   | GO:0071822                     |
| 0/0202  | MCTS1- UPFB3- LAMP2-<br>RPL39  | 4                               | فرآیند متابولیک پپتیدها<br>peptide Metabolic process                                | GO:0006518                     |
| 0/065   | FBXL17- NUDT12- PJA2   | 3                               | فرآیند کاتابولیک ماکرومولکول‌های سلولی<br>cellular macromolecules Catabolic process | GO:0044265                     |

دارد. افزودن چهارمین و پنجمین باقیمانده مانوز به زنجیره الیگوساکارید متصل به دولیکول را کاتالیز می‌کند. دو دسته اصلی الیگوساکارید وجود دارد: *O-glycosylation* و *N-glycosylation*. نقص‌های ژنتیکی در مجموعه N-گلیکان،

ژن *ALG11*<sup>۲</sup> روی کروموزوم ۱۶ قرار داشت و در فرآیند گلیکوزیلاسیون نقش دارد. مانوزیل ترانسفراز در آخرین مراحل سنتز الیگوساکارید هسته *Man5GlcNAc(2)-PP-* روی *dolichol* صفحه سیتوپلاسمی شبکه آندوپلاسمی نقش

<sup>2</sup> Alpha-1,2-Mannosyltransferase

HSD17B12, EXT2, DGKZ, F2, CHST1, ATG13, MAPK8IP1, SLC35C1, روی کروموزوم ۱۲ قرار داشتند و در فرآیندهای بیوستت (ALKBH3, ACCS)، در تنظیم رونویسی (AMBRA1)، در تنظیم فعالیت کیناز و تکثیر سلولی (ATG13)، ایمنی سلولی (CHST1, F2)، نقش بسیار مهم در تولید مجموعه‌های چربی (DGKZ)، نقش مهم در هموستاز و سیگنال‌دهی بافت (EXT2)، کاتالیز تبدیل استرون (E1) به استرادیول (E2) و تشکیل استروژن (HSD17B12)، سیگنال‌دهی سلولی در پایانه‌های عصبی (MAPK8IP1)، تامین انرژی (SLC35C1) نقش دارند (Dhamija & Chambers, 2016; Dominissini *et al.*, 2016; Duncan *et al.*, 2002). ژن‌های CDC42EP3, NDUF7, SPAST, EIF2AK2, CYP1B1 همگی روی کروموزوم ۱۵ قرار گرفته‌اند. یکی از مهم‌ترین ژن‌های این مجموعه CYP1B1 است که در متابولیسم اکسیداتیو، به‌ویژه تبدیل هیدروکربن‌های آروماتیک چند حلقه‌ای و آریل آمین‌های هتروسیکلیک پروسرینوزن‌ها به محصولات آسیب‌رسان به DNA نقش دارد. احتمالاً با متابولیزه کردن محصولات اکسیژن دار تولید شده در طول استرس اکسیداتیو نقش مهمی در رشد عروق شبکیه دارد. تحت شرایط هیپرآکسی، رگ‌زایی شبکیه و مورفوژن مویرگی را افزایش می‌دهد. همچنین از طریق تعدیل بیان (بر اساس شباهت) به هموستاز اکسیداتیو و سازماندهی فراساختاری و عملکرد بافت شبکه تریاکولار کمک می‌کند (Shimada *et al.*, 1999). ژن‌های MCTS1, UPF3B, LAMP2, RPL39 روی کروموزوم ۳۲ قرار داشتند و در فرآیند متابولیک پپتیدها نقش داشتند. همچنین پروتئین کدگذاری شده توسط ژن LAMP2 عضوی از خانواده گلیکوپروتئین‌های غشایی است. ممکن است در متاستاز سلول‌های تومور نقش داشته باشد. همچنین ممکن است در محافظت، نگهداری و چسبندگی لیزوزوم عمل کند. پیوند جایگزین این ژن منجر به انواع رونوشت‌های متعددی می‌شود که پروتئین‌های متمایز را کد می‌کند (Cuervo & Dice, 1996). ژن FBXL17 برای توانایی از بین بردن دایمرهای آسیب‌دیده برای تمایز و بقای تاج عصبی و سلول‌های عصبی مورد نیاز است. این ژن روی کروموزوم ۱۴ قرار داشت (Mena *et al.*, 2018).

### نتیجه‌گیری کلی

تحقیق حاضر با در نظر گرفتن روش‌های متنوع به‌منظور شناسایی نشانه‌های انتخاب در اسب‌های ترکمن و تروبرد و ترکیب نتایج حاصل از هر یک از روش‌ها، رویکرد جدیدی را برای استنتاج نقاط مثبت نشانه‌های انتخاب در ژنوم اسب اجرا می‌کند. نتایج این تحقیق می‌تواند منبع اطلاعاتی با ارزش و مفیدی به‌منظور شناسایی ژن‌های متمایزکننده و شناسایی نواحی ژنومی کاندید برای بسیاری از صفات مهم اقتصادی موجود در اسب‌های تروبرد و ترکمن را فراهم آورد.

یعنی سنتز و اتصال گلیکان‌ها به گلیکوپروتئین‌ها و گلیکولیپیدها، متعلق به خانواده بزرگ اختلالات مادرزادی گلیکوزیلاسیون (CDG) است (Péanne *et al.*, 2018). تقریباً ۱۳۰ اختلال با نقص در گلیکوزیلاسیون که باعث اختلال عملکرد پروتئین یا لیپید می‌شود، مرتبط بوده‌است (Freeze *et al.*, 2015). ناهنجاری‌های مرتبط با CDG تقریباً بر هر سیستم اندامی تأثیر می‌گذارد. نقص N-گلیکوزیلاسیون معمولاً به دو نوع طبقه‌بندی می‌شود. CDG نوع I در سنتز یا انتقال یک الیگوساکارید مرتبط با لیپید (دولیکول) (LLO) به پروتئین در شبکه آندوپلاسمی دچار کمبود هستند، در حالی که نوع II ناشی از پردازش N-گلیکان‌های متصل به پروتئین است که عمدتاً وابسته به گلژی است (Dhamija & Chambers, 2016). ژن *COG6* روی کروموزوم ۱۶ قرار داشت و یک ژن کدکننده پروتئین است. این ژن زیرواحد کمپلکس الیگومری حفاظت‌شده گلژی را کد می‌کند که برای حفظ ساختار طبیعی و فعالیت دستگاه گلژی مورد نیاز است. پروتئین کدگذاری شده با اجزای ۵، ۷ و ۸ کمپلکس الیگومری حفاظت‌شده گلژی در یک مجموعه فرعی به نام لوب B سازماندهی شده‌است. پیوند جایگزین منجر به انواع رونوشت‌های متعدد می‌شود (Li *et al.*, 2019). مجموعه ژن‌های SEM1, SETMAR, ITPR1 در فرآیندهای پاسخ به استرس نقش دارند و روی کروموزوم ۱۷ قرار گرفتند. این مجموعه با حذف پروتئین‌های تاخوردیده یا آسیب‌دیده، که می‌تواند عملکرد سلولی را مختل کند، و با حذف پروتئین‌هایی که دیگر به عملکرد آن‌ها نیازی نیست، نقش کلیدی در حفظ هموستاز پروتئین ایفا می‌کند (Jani *et al.*, 2012). همچنین مجموعه ژن‌های SEM1, SETMAR, BHLHE40, CRBN, SUMF1, TRNT1 روی کروموزوم ۱۷ قرار دارند و در سوخت و ساز ماکرومولکول‌ها نقش دارند. ژن BHLHE40 یکی از مهم‌ترین ژن‌های این گروه است. این ژن یک پروتئین پایه ماریچ-حلقه-ماریچ را کد می‌کند که در بافت‌های مختلف بیان می‌شود. پروتئین کدگذاری شده می‌تواند با ARNTL تعامل داشته باشد یا برای مکان‌های اتصال E-box در پروموتور PER1 رقابت کند و فعال‌سازی CLOCK/ARNTL PER1 را سرکوب کند. اعتقاد بر این است که این ژن در کنترل ریتم شبانه روزی و تمایز سلولی نقش دارد (Kawamoto *et al.*, 2004). ژن LXN و RARRES1 روی کروموزوم ۱۰ قرار داشتند. این دو ژن پارالوگ یکدیگرند و تنها بازدارنده پروتئین شناخته‌شده متالوکاربوکسی پپتیدازهای وابسته به روی را کد می‌کنند. پروتئین کدگذاری شده، لاتکسین، اندازه جمعیت سلول‌های بنیادی خونساز را کاهش می‌دهد. این پروتئین در سلول‌های سرطانی به‌دلیل هیپرمتیلاسیون پروموتور کاهش می‌یابد. همچنین ممکن است در التهاب نقش داشته باشد. ژن PTX3 در تنظیم مقاومت ذاتی در برابر عوامل بیماری‌زا، واکنش‌های التهابی، باروری نقش دارد (Lui *et al.*, 2023). مجموعه ۱۱ ژن ACCS, ALKBH3, AMBRA1

## References

- Barendse, W., Harrison, B. E., Bunch, R. J., Thomas, M. B., & Turner, L. B. (2009). Genome wide signatures of positive selection: the comparison of independent samples and the identification of regions associated to traits. *BMC Genomics*, *10*, 1-15.
- Cantor, R. M., Lange, K., & Sinsheimer, J. S. (2010). Prioritizing GWAS results: a review of statistical methods and recommendations for their application. *The American Journal of Human Genetics*, *86*(1), 6-22.
- Cuervo, A. M., & Dice, J. F. (1996). A receptor for the selective uptake and degradation of proteins by lysosomes. *Science*, *273*(5274), 501-503.
- Dhamija, R., & Chambers, C. (2016). Clinical and Molecular Characterization of ALG1-CDG. *Pediatric Neurology Briefs*, 14-14.
- Dominissini, D., Nachtergaele, S., Moshitch-Moshkovitz, S., Peer, E., Kol, N., Ben-Haim, M. S., Clark, W. C. (2016). The dynamic N<sup>1</sup>-methyladenosine methylome in eukaryotic messenger RNA. *Nature*, *530*(7591), 441-446.
- Duncan, T., Trewick, S. C., Koivisto, P., Bates, P. A., Lindahl, T & Sedgwick, B. (2002). Reversal of DNA alkylation damage by two human dioxygenases. *Proceedings of the National Academy of Sciences*, *99*(26), 16660-16665.
- Freeze, H. H., Eklund, E. A., Ng, B. G., & Patterson, M. C. (2015). Neurological aspects of human glycosylation disorders. *Annual Review of Neuroscience*, *38*, 105-125.
- Gondro, C., Van der Werf, J., & Hayes, B. (2013). *Genome-Wide Association Studies and Genomic Prediction*, (Vol. 1019). Springer.
- Grimberg, J., Nawoschik, S., Belluscio, L., McKee, R., Turck, A., & Eisenberg, A. (1989). A simple and efficient non-organic procedure for the isolation of genomic DNA from blood. *Nucleic Acids Research*, *17*(20), 8390.
- Grossman, S. R., Shylakhter, I., Karlsson, E. K., Byrne, E. H., Morales, S., Frieden, G., Zuk, O. (2010). A composite of multiple signals distinguishes causal variants in regions of positive selection. *Science*, *327*(5967), 883-886.
- Gurgul, A., Jasielczuk, I., Semik-Gurgul, E., Pawlina-Tyszko, K., Stefaniuk-Szmukier, M., Szmatoła, T., Bugno-Poniewierska, M. (2019). A genome-wide scan for diversifying selection signatures in selected horse breeds. *PLoS one*, *14*(1), e0210751.
- Higgins, J. P., Little, J., Ioannidis, J. P., Bray, M. S., Manolio, T. A., Smeeth, L., ... & Khoury, M. J. (2007). Turning the pump handle: evolving methods for integrating the evidence on gene-disease association. *American Journal of Epidemiology*, *166*(8), 863-866.
- Jani, D., Lutz, S., Hurt, E., Laskey, R. A., Stewart, M., & Wickramasinghe, V. O. (2012). Functional and structural characterization of the mammalian TREX-2 complex that links transcription with nuclear messenger RNA export. *Nucleic Acids Research*, *40*(10), 4562-4573.
- Jombart, T., & Ahmed, I. (2011). adegenet 1.3-1: new tools for the analysis of genome-wide SNP data. *Bioinformatics*, *27*(21), 3070-3071.
- Kawamoto, T., Noshiro, M., Sato, F., Maemura, K., Takeda, N., Nagai, R., Miyazaki, K. (2004). A novel autofeedback loop of Dec1 transcription involved in circadian rhythm regulation. *Biochemical and Biophysical Research Communications*, *313*(1), 117-124.
- Lean, I., Rabiee, A., Duffield, T. F., & Dohoo, I. (2009). Invited review: Use of meta-analysis in animal health and reproduction: Methods and applications. *Journal of Dairy Science*, *92*(8), 3545-3565.
- Li, G., Xu, Y., Hu, X., Li, N., Yao, R., Yu, T., Wang, J. (2019). Compound heterozygous variants of the COG6 gene in a Chinese patient with deficiency of subunit 6 of the conserved oligomeric Golgi complex (COG6-CDG). *European Journal of Medical Genetics*, *62*(1), 44-46.
- Lui, K., Huang, Y., Sheikh, M. S., Cheung, K.-K., Tam, W. Y., Sun, K.-T., Loh, A. W.-K. (2023). The oncogenic potential of Rab-like protein 1A (RBEL1A) GTPase: The first review of RBEL1A research with future research directions and challenges. *Journal of Cancer*, *14*(17), 3214.
- Mena, E. L., Kjolby, R. A., Saxton, R. A., Werner, A., Lew, B. G., Boyle, J. M., Rape, M. (2018). Dimerization quality control ensures neuronal development and survival. *Science*, *362*(6411), eaap8236.
- Moazemi, I., Mohammadabadi, M., Mostafavi, A., Esmailizadeh, A., Babenko, O., Bushtruk, M., Klopenko, N. (2020). Polymorphism of DMRT3 gene and its association with body measurements in horse breeds. *Russian Journal of Genetics*, *56*, 1232-1240.
- Moradi, M. H., Nejati-Javaremi, A., Moradi-Shahrbabak, M., Dodds, K. G., & McEwan, J. C. (2012). Genomic scan of selective sweeps in thin and fat tail sheep breeds for identifying of candidate regions associated with fat deposition. *BMC Genetics*, *13*, 1-15.
- Mostafavi, A., Fozi, M. A., Koshkooieh, A. E., Mohammadabadi, M., Babenko, O. I., & Klopenko, N. I. (2019). Effect of LCORL gene polymorphism on body size traits in horse populations. *Acta Scientiarum. Animal Sciences*, *42*, e47483.
- Oleksyk, T. K., Smith, M. W., & O'Brien, S. J. (2010). Genome-wide scans for footprints of natural selection. *Philosophical Transactions of the Royal Society B: Biological Sciences*, *365*(1537), 185-205.

- Péanne, R., De Lonlay, P., Foulquier, F., Kornak, U., Lefeber, D. J., Morava, E., Van Schaftingen, E. (2018). Congenital disorders of glycosylation (CDG): Quo vadis? *European Journal of Medical Genetics*, *61*(11), 643-663.
- Qanbari, S., Gianola, D., Hayes, B., Schenkel, F., Miller, S., Moore, S., Simianer, H. (2011). Application of site and haplotype-frequency based approaches for detecting selection signatures in cattle. *BMC Genomics*, *12*, 1-12.
- Qanbari, S., Pimentel, E., Tetens, J., Thaller, G., Lichtner, P., Sharifi, A. R., & Simianer, H. (2010). A genome-wide scan for signatures of recent selection in Holstein cattle. *Animal Genetics*, *41*(4), 377-389.
- Ramasamy, A., Mondry, A., Holmes, C. C., & Altman, D. G. (2008). Key issues in conducting a meta-analysis of gene expression microarray datasets. *PLoS Medicine*, *5*(9), e184.
- Saadatabadi, L. M., Mohammadabadi, M., Nanaei, H. A., Ghanatsaman, Z. A., Stavetska, R. V., Kalashnyk, O., Kucher, D. M. (2023). Unraveling candidate genes related to heat tolerance and immune response traits in some native sheep using whole genome sequencing data. *Small Ruminant Research*, *225*, 107018.
- Sabeti, P. C., Reich, D. E., Higgins, J. M., Levine, H. Z., Richter, D. J., Schaffner, S. F., McDonald, G. J. (2002). Detecting recent positive selection in the human genome from haplotype structure. *Nature*, *419*(6909), 832-837.
- Shimada, T., Watanabe, J., Kawajiri, K., Sutter, T. R., Guengerich, F. P., Gillam, E. M., & Inoue, K. (1999). Catalytic properties of polymorphic human cytochrome P450 1B1 variants. *Carcinogenesis*, *20*(8), 1607, 14-16.
- Sutton, A. J., Abrams, K. R., Jones, D. R., Sheldon, T. A., & Song, F. (2000). *Methods for Meta-analysis in Medical Research* (Vol. 348). Wiley Chichester.
- Tang, K., Thornton, K. R., & Stoneking, M. (2007). A new approach for using genome scans to detect recent positive selection in the human genome. *PLoS Biology*, *5*(7), e171.
- Teo, Y. Y., Fry, A. E., Clark, T. G., Tai, E., & Seielstad, M. (2007). On the usage of HWE for identifying genotyping errors. *Annals of Human Genetics*, *71*(5), 701-703.
- Utsunomiya, Y. T., Pérez O'Brien, A. M., Sonstegard, T. S., Van Tassell, C. P., do Carmo, A. S., Meszaros, G., Garcia, J. F. (2013). Detecting loci under recent positive selection in dairy and beef cattle by combining different genome-wide scan methods. *PLoS One*, *8*(5), e64280.
- Vesterinen, H., Sena, E., Egan, K., Hirst, T., Churolov, L., Currie, G., Macleod, M. (2014). Meta-analysis of data from animal studies: a practical guide. *Journal of Neuroscience Methods*, *221*, 92-102.
- Voight, B. F., Kudaravalli, S., Wen, X., & Pritchard, J. K. (2006). A map of recent positive selection in the human genome. *PLoS Biology*, *4*(3), e72.
- Weir, B. S., & Cockerham, C. C. (1984). Estimating F-statistics for the analysis of population structure. *Evolution*, 1358-1370.